

تأثیر همزمان شیکونین و گلوکوتایون پروکسیداز-۱ بر افزایش بقا نوروئهاى دوپامین ساز در برابر مسمومیت پارکینسونی

عمران اسماعیل زاده دانشجوی M.Sc.^۱، موسی گردانه Ph.D.^{*}، حمیدرضا وزیرى Ph.D.^۲

۱- دپارتمان ژنتیک مولکولی، پژوهشگاه ملی مهندسی ژنتیک و زیست فناوری

۲- دانشگاه گیلان، دانشکده علوم پایه

* پست الکترونیک نویسنده مسئول: mossa65@nigeb.ac.ir

تاریخ پذیرش: ۱۳۹۰/۱۲/۱

تاریخ دریافت: ۱۳۹۰/۱۰/۱۲

چکیده

هدف: هدف از این مطالعه بررسی تأثیر آنزیم گلوکوتایون پراکسیداز-۱ و شیکونین بر افزایش بقا نوروئهاى دوپامین ساز در برابر مسمومیت پارکینسونی بود.

مواد و روش ها: برای افزایش بیان ژن گلوکوتایون پراکسیداز-۱ (GPX-1) در نوروئهاى دوپامین ساز، لنتی ویروس‌هاى نوترکیب ناقل این ژن همراه با ژن گزارشگر GFP ساخته شد و برای آلوده سازی نوروئها استفاده گردید. بدنبال افزایش بیان GPX-1 در نوروئهاى آلوده شده به ویروس، میزان بقا این نوروئها در برابر مسمومیت پارکینسونی و نیز تیمار آن‌ها با شیکونین، اندازه گیری شد.

نتایج: به دنبال بیان ژن GFP که در زیر میکروسکوپ فلورسنس مشاهده شد، افزایش بیان ژن GPX-1 نیز با تکنیک RT-PCR به اثبات رسید. نتایج این آزمایشات نشان داد که هم افزایش بیان ژن GPX-1 و هم تیمار نوروئها با شیکونین بطور جداگانه ای باعث افزایش معنی داری در بقا این نوروئها در برابر مسمومیت پارکینسونی نسبت به نوروئهاى طبیعی و نوروئهاى کنترل (آلوده شده با pLV-EGFP) گردید. درصد بقا پس از افزایش بیان GPX-1 در حدود ۱۴ درصد و پس از افزایش شیکونین ۱۱ درصد بیشتر از حالت بدون تیمار برآورد گردید. مهم‌تر آنکه حضور توام این دو عامل درصد بقا را تا ۲۹ درصد افزایش داد.

نتیجه گیری: نتایج حاصله نشان داد که افزایش بیان ژن GPX-1 و تیمار سلول‌ها با شیکونین علاوه بر آن که بطور جداگانه بر بقا سلول‌ها در برابر توکسین پارکینسونی تأثیر فزاینده دارند، در صورت حضور هم‌زمان، یک تأثیر هم افزایی داشته و احتمالاً بطور سینرژیک عمل می‌نمایند.

واژگان کلیدی: پارکینسون، گلوکوتایون پراکسیداز، شیکونین، نوروئ دوپامین ساز

مقدمه

مرگ نوروں ها مهم ترین مشخصه‌ی بیماری‌های نورودژنراتیو به شمار می رود (۱). سیگنال‌های مرگ و به خصوص افزایش سطح رادیکال‌های آزاد در مغز باعث پدیده‌ی مرگ نوروںی می‌گردند (۲). مولکول‌های شدیداً واکنش‌گر که اصطلاحاً Reactive Species نامیده می‌شوند، احتمالاً در مرگ نوروں‌ها نقش ایفا می‌کنند و حتی عامل اصلی بیماری‌های نورودژنراتیو مانند هانتینگتون، پارکینسون، ALS (Amyotrophic lateral sclerosis) و غیره می‌باشند (۳ و ۲).

گونه‌های واکنش‌گر اکسیژن (Reactive oxygen species, ROS) انواعی از رادیکال‌های آزاد اکسیژن از قبیل سوپراکسید، هیدروکسیل و مولکول‌های غیر رادیکالی مثل پراکسید هیدروژن را شامل می‌شوند (۴). در مقابل استرس نیتراتیو، ناشی از تولید گونه‌های واکنش‌گر نیتروژن مانند نیتریک اکسید، نیتروژن دی اکسید و واسطه‌های واکنش‌گر آنها می‌باشد (۴). این مولکول‌ها به ماکرومولکول‌های حیاتی از قبیل پروتئین‌ها، لیپیدها و اسیدهای چرب حمله کرده و باعث آغاز آسیب استرس اکسیداتیو در بدن می‌شوند. در این میان، یک سیستم دفاعی بر علیه این آسیب در بدن شکل می‌گیرد که با تخریب‌های ناشی از این استرس‌ها در بدن مقابله می‌کند. گلوکوتایون احیا شده (GSH) بخش مهمی از این سیستم دفاعی در بسیاری از بافت‌های بدن از جمله مغز به شمار می‌رود و فعالیت آن دارای نقش اساسی در حفاظت نوروں‌ها در برابر تخریب میتوکندریایی می‌باشد (۵، ۶ و ۷).

گلوکوتایون پروکسیداز-1 (GPX-1) یک آنزیم ضد اکسیدان وابسته به سلنیوم است که H_2O_2 را به آب تبدیل و در طی این عمل GSH را به فرم دی سولفید آن (GSSG) تبدیل می‌کند (۸). GPX-1 باعث حفظ تعادل در حالت احیا سلولی شده و با اکسیداسیون لیپیدها، پروتئین‌ها، NADPH و NADH مقابله می‌نماید (۹). مطالعات نشان داده است که مدل‌های حیوانی که بیان ژن GPX-1 در آنها افزایش پیدا کرده است، مقاومت بیشتری در مقابل استرس اکسیداتیو دارند در حالی‌که موش‌های تراریخته فاقد ژن GPX-1 آسیب پذیری بسیار بیش‌تری نشان می‌دهند (۱۰). مطالعه قبلی ما مشخصاً تأثیر این آنزیم در حفاظت نوروں‌های دوپامین ساز را به اثبات رسانده است (۱۱).

شیکونین یک رنگدانه نفتوکوئینون از ریشه گیاه *Lithospermum erythrorhizon* است که سالیان دراز

به‌عنوان یک ترکیب ضد التهابی و ضد زخم بکار برده شده است (۱۲). شیکونین قادر است تأثیرات ضد میکروبی، ضد سرطانی و ضد التهابی بر جای بگذارد (۱۲-۱۵). به‌نظر می‌رسد که کلیه این فعالیت‌های شیکونین به‌نحوی با قدرت آن در پاکسازی رادیکال‌های اکسیژنی مرتبط باشد (۱۶). با توجه به اینکه طبق گزارشات موجود شیکونین فعالیت ضد اکسیدانی موثری بر علیه چندین نوع گونه واکنش‌گر اکسیژن از جمله رادیکال آنیون سوپراکسید، رادیکال هیدروکسیل و غیره نشان می‌دهد (۱۷)، بررسی نقش این ترکیب گیاهی در کاهش آسیب‌های اکسیداتیو بر نوروں‌ها می‌تواند دامنه کاربرد آنرا به درمان بیماری‌های مرگ نوروںی گسترش دهد.

باتوجه به اهمیت نقش استرس اکسیداتیو در آسیب رساندن به مغز این سوال مطرح است که آیا مقابله با استرس اکسیداتیو می‌تواند از مرگ نوروں‌ها و آغاز یا پیشرفت بیماری‌های نورودژنراتیو مقابله کند؟ پاسخ به این سوال وابسته به اینست که آیا می‌توان از طریق تقویت دفاع ضد اکسیدان با مرگ نوروں‌ها در مدل سلولی بیماری پارکینسون مقابله کرد؟ در مطالعه جاری، نقش گلوکوتایون پروکسیداز-1 بعنوان یک آنزیم آنتی اکسیدان مهم و نیز نقش شیکونین به‌عنوان یک ترکیب حمایت کننده در افزایش مقاومت نوروں‌های دوپامین ساز در برابر مسمومیت پارکینسونی بررسی شده و تأثیر هم افزائی آن‌ها نیز مورد مطالعه قرار می‌گیرد.

مواد و روش‌ها

بیولوژی مولکولی: ناقل‌های ویروسی شامل ناقل بسته بندی (pCD/NL-BH* $\Delta\Delta\Delta$) ناقل پوششی (LTR-G) و ناقل انتقالی (PLV-GPX1) با استفاده از کیت Maxiprep از کیژن خالص سازی شدند. مراحل مربوط به خالص سازی DNA مطابق دستور سازنده انجام شد (۱۸).

کشت سلول: سلول‌های HEK-293T به عنوان مولد ویروس در محیط Dulbecco's Modified Eagle (DMEM) به همراه FBS ۱۰ درصد در دمای ۳۷ درجه و CO_2 ۵ درصد کشت و پاساژ داده شدند. ۲ میلیون سلول در پتری دیش‌های ۱۰ سانتی‌متری مخصوص کشت سلول، ۲۴ ساعت قبل از ترانسفکشن کشت داده شدند تا در روز بعد ۵۰ تا ۶۰ درصد پتری دیش را پر کنند. همچنین سلول‌های نوروںی رده‌ی PC12 به عنوان سلول‌های هدف، در دمای ۳۷ درجه و CO_2 ۵

جفت بازی از cDNA مربوط به GPX-1 انسانی، جفت پرایمر زیر بر اساس توالی کد کننده آن بشرح زیر طراحی و سنتز شد (۲۰) (GenBank accession no. M83094):

Forward: 5'-CTTATCGAGAATGTGGCGTCCC-3',
Reverse: 5'-GCCACCAGGAAGTCTCAAAG-3'.

مقادیر یکسان از هر نمونه cDNA برای آزمایش PCR مورد استفاده قرار گرفت. پس از ۲ دقیقه دناتوراسیون نمونه‌ها در درمای ۹۵ درجه سانتی‌گراد، واکنش PCR با ۳۰ سیکل دناتوراسیون در ۹۴ درجه سانتی‌گراد، ۴۵ ثانیه، Annealing در ۵۹ درجه سانتی‌گراد، ۱ دقیقه و مرحله Extension در ۷۲ درجه سانتی‌گراد، ۴۵ ثانیه به انجام رسید. محصولات PCR با استفاده از ژل آگاروز ۱/۲ درصد آنالیز و تصویر برداری شد. شدت باندهای این تصاویر با استفاده از نرم افزار US-Scan-It Gel Analysis Software (Skill Scientific Inc. Orem, Utah) اندازه‌گیری گردید.

تیمار سلول‌ها با شیکونین: سلول‌های PC12 و PC12-GPX-1، ۲۴ ساعت قبل از ایجاد مسمومیت پارکینسونی در پلیت ۹۶ خانه، تحت تیمار با غلظت ۴ میکرو گرو بر میلی لیتر از شیکونین قرار گرفتند و در شرایط انکوباتوری مذکور نگهداری شدند. همچنین یک گروه از سلول‌های PC12 طبیعی (Wild-type, WT) و فاقد هرگونه آلودگی ویروسی نیز به عنوان سلول‌های کنترل برای این تیمار، استفاده گردیدند.

ایجاد مسمومیت پارکینسونی و سنجش بقا: ۲۴ ساعت پس از تیمار با شیکونین، سلول‌ها در معرض غلظت ۷۵ میکرومولار توکسین 6-OHDA بعنوان LD₅₀ این سلول‌ها قرار گرفتند و پس از ۳۰ ساعت میزان بقا آن‌ها با روش 3-[4,5-dimethylthiazol-2-yl]-2,5-diphenyl-tetrazolium bromide (MTT) اندازه‌گیری شد. جزئیات مربوط به طرز تهیه محلول 6-OHDA، تعیین دوز LD₅₀ و سنجش MTT قبلاً گزارش شده است (۲۰). به طور مختصر، استوک ۵ میلی مولار 6-OHDA (سیگما) حاوی ۰/۹ درصد سالیین (Phosphate buffered saline)، ۰/۱ درصد آسکوربات و ۱۰ میلی (DETAPAC) diethylenetriaminepentaacetic acid در نیتروژن حل شده و قبل از ذخیره سازی در دمای ۲۰- درجه سانتی‌گراد توسط فیلتراسیون، استریل گردید. برای تعیین LD₅₀ توکسین، سلول‌ها توسط رقت‌های سریالی از 6-OHDA برای مدت ۲۴ ساعت

درصد کشت و پاساژ داده شدند. برای آلوده سازی ویروسی تعداد ۵۰ هزار سلول PC12 در پلیت ۲۴ خانه، ۲۴ ساعت قبل از آلوده سازی کشت داده شدند.

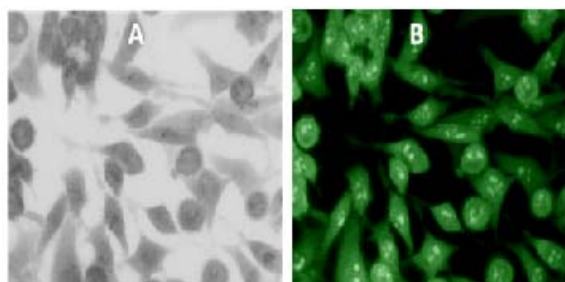
تولید ویروس: برای تولید لنتی ویروس‌های نوترکیب و فعال، سلول‌های مولد ویروس (HEK-293T) هم‌زمان با سه ناقل لنتی ویروسی به مقدار ۱۵ میکرو گرم از ناقل ترانسفر و ۱۰ میکرو گرم از هریک از ناقلین بسته بندی و غشایی، با روش رسوب DNA-فسفات کلسیم ترانسفکت شد. برای تشکیل این رسوب، DNA های مذکور همراه با ۵۰ میکرو لیتر از کلرید کلسیم ۲/۵ میلی مولار، با آب استریل به حجم ۵۰۰ میکرو لیتر رسید و هم حجم آن HEPES اضافه شد. محلول حاصل ۲۰ دقیقه در زیر هود انکوبه تا رسوب مطلوب به دست آید. سپس این رسوب به آرامی و قطره قطره به محیط سلول‌های هدف اضافه شد. سلول‌ها به مدت ۸ ساعت انکوبه و سپس محیط آن‌ها با محیط جدید تعویض شد. پس از این مراحل سلول‌ها تا زمان تولید ویروس و رها سازی آن به محیط کشت، در شرایط انکوباتوری ذکر شده نگهداری شدند.

تغلیظ ویروس و آلوده سازی سلول‌های هدف: محیط کشت سلول‌های ترانسفکت شده پس از ۲۴ و ۴۸ ساعت جمع آوری و از فیلتر ۰/۴۵ میکرون عبور داده شد. سپس محیط فیلتر شده به درون ستون‌های آمیکون MW ۱۰۰ ریخته و مدت ۱۰ دقیقه در دور ۴۰۰۰ rpm سانتریفیوژ شد. محلول باقی‌مانده پشت فیلتر که پر از ذرات ویرونی بود جمع آوری شد. حجم‌های مختلف از این محلول برای آلوده سازی سلول‌های هدف (PC12) استفاده شد و سپس سلول‌ها در شرایط انکوباتوری ذکر شده قرار داده شدند تا بیان ژن GFP موجود در ناقل انتقالی، در زیر میکروسکوپ فلورسنس مشاهده شود. پس از این مرحله با استفاده از تکنیک RT-PCR از افزایش بیان ترانسژن GPX1 اطمینان حاصل گردید.

استخراج RNA و آزمایش RT-PCR ۹۶ ساعت پس از ترانسدوکشن سلولی، کل RNA سلولی با استفاده از کیت مربوطه (High Pure RNA Isolation Kit, Roche) استخراج شده و پس از اطمینان از سلامت کامل آن در روی ژل، ۲ میکرو گرم از آن برای سنتز cDNA تحت شرایط گزارش شده بکار برده شد (۱۹). ساخت cDNA به کمک ترانسکرپتاز معکوس از (Fermentas, Lithuania) و در حضور هگزامرهای راندوم و RNase Inhibitor صورت گرفت. برای تکثیر یک قطعه ۳۸۷

ترانسداکشن نوروں های هدف و بیان ژن گزارش گر:

حدود ۳۶ ساعت پس از افزودن استوک ویروسی به سلول‌های PC12 اولین نشانه‌های بیان GFP با استفاده از میکروسکوپ فلورسنس مشاهده شد و موفقیت آمیز بودن ترانسداکشن را به اثبات رساند. بیان GFP در فاصله زمانی ۷۲ ساعت به حداکثر خود رسید (شکل ۲).



شکل ۲: بیان ژن GFP در سلول‌های PC12. این تصاویر بیست و چهار ساعت پس از آلوده‌سازی ویروسی (ترانسداکشن) سلول‌های PC12 که با استفاده از میکروسکوپ فلورسنس و با فیلتر FITC تهیه شده است (A= سلول‌های طبیعی، B= سلول‌ها پس از ترانسداکشن). بزرگنمایی: ۲۰۰x

افزایش بیان ژن GPX-1:

دو هفته پس از آلوده شدن سلول‌های PC12 به ویروس‌های هدف و اطمینان از بیان ترانسژن، RNA این سلول‌ها استخراج شد و با استفاده از تکنیک RT-PCR میزان بیان ژن GPX-1 قبل و بعد از ترانسداکسیون مشاهده گردید (شکل ۳). این آزمایشات نشان داد که میزان بیان GPX-1 در سلول‌های آلوده شده به ویروس pLV-GPX1 نسبت به سلول‌های طبیعی افزایش یافته است. پس از سه بار تکرار آزمایش بطور مستقل و با استفاده از نرم افزار ذکر شده در بخش روشها محاسبات لازم انجام گردید و در نتیجه میزان این افزایش را بطور متوسط ۲/۸ برابر برآورد نمود. همانطور که انتظار می رفت بیان GPX-1 در سلول‌های آلوده به ویروس pLV-EGFP نیز افزایش نشان داد که میزان آن بطور متوسط ۱/۳ برابر سلول‌های طبیعی (WT) بود (شکل ۳).

تأثیر شیکونین و گلوکاتایون پروکسیداز بر افزایش بقا

نوروں‌ها: سلول‌های PC12 که افزایش بیان GPX-1 را به وضوح نشان دادند با شیکونین نیز تیمار شدند. پس از آن توکسین 6-OHDA به گروه‌های مختلف سلولی اضافه گردید تا میزان مقاومت آن‌ها در برابر مسمومیت پارکینسونی تعیین شود. شکل ۴ تصویری از سلول‌ها را ۲۴ ساعت پس از مسمومیت پارکینسونی نشان می‌دهد.

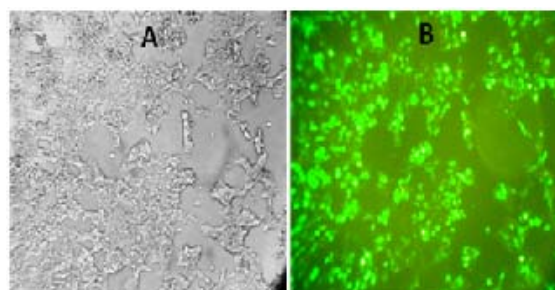
تیمار شدند و غلظتی از توکسین که در آن نیمی از سلول‌ها از بین رفتند به عنوان LD₅₀ انتخاب گردید. همچنین برای سنجش MTT، با حل کردن استوک این ماده در سالین، غلظت ۵ میلی گرم در میلی لیتر از آن تهیه شد و پس از استریل کردن آن توسط فیلتراسیون، ۲۰ میکرو لیتر از آن به ۱۸۰ میکرو لیتر محیط DMEM فاقد FBS در هر چاهک اضافه گردید و به مدت ۳ ساعت در شرایط انکوباتوری فوق نگهداری شد. سپس این محیط با ۲۰۰ میکرو لیتر Dimethyl Sulfoxide (DMSO) جایگزین شد و پس از ۵ دقیقه انکوبه شدن، میزان جذب در طول موج ۵۸۰ نانومتر اندازه گیری شد.

آنالیز آماری: داده‌های آماری به صورت mean±SEM بیان و حاصل سه آزمایش مجزا است که هر کدام به صورت تریپلیکیته تکرار شده اند. آنالیزهای آماری این داده‌ها با استفاده از نرم افزار SPSS, version 17.0 انجام پذیرفت. برای آنالیز تفاوت بین گروه‌های مختلف سلولی از آنالیز یکسویه واریانس (One-way analysis of variance, ANOVA) و سپس با تست دانکن (post-hoc Duncan Multiple-comparisons Test) استفاده گردید. مقادیر $p < 0.01$ و $p < 0.001$ به عنوان اختلاف بسیار معنی دار تفسیر شد.

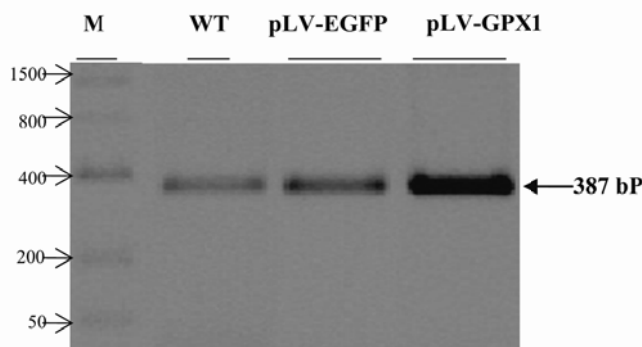
نتایج

موفقیت مرحله ی ترانسفکشن:

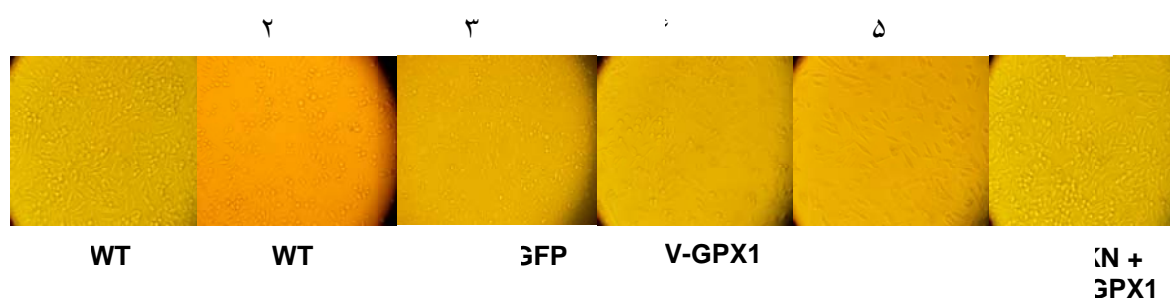
مشاهده‌ی سلول‌ها با میکروسکوپ فلورسنس در فواصل زمانی متوالی پس از ترانسفکشن، آغاز بیان ژن GFP را در سلول‌های HEK-293T، ۹ ساعت پس از ترانسفکشن نشان داد و در ساعات بعدی بیان این ژن تشدید گردید تا نهایتاً در ۲۴ ساعت پس از ترانسفکشن این بیان به ۱۰۰ درصد رسید (شکل ۱).



شکل ۱: بیان ژن GFP در سلول‌های HEK 293T این تصاویر بیست و چهار ساعت پس از ترانسفکشن سلول‌های HEK 293T با استفاده از میکروسکوپ فلورسنس و با فیلتر FITC تهیه شده است (A= سلول‌های طبیعی، B= سلول‌ها پس از ترانسفکشن). بزرگنمایی: ۱۰۰x

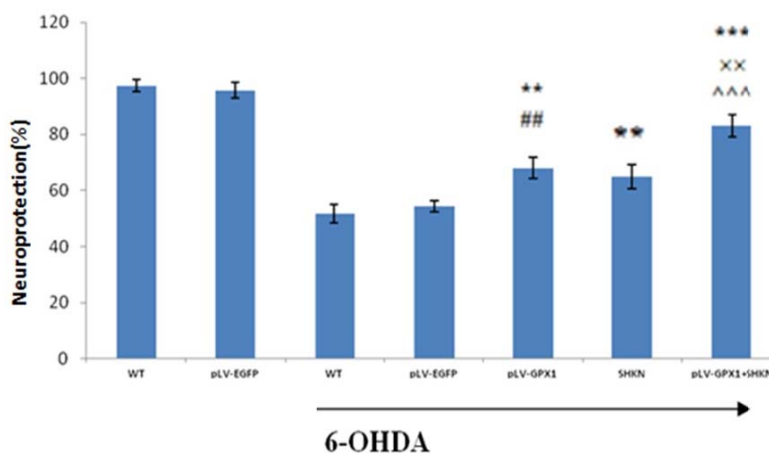


شکل ۳: نتایج حاصل از واکنش RT-PCR این تصویر ژل الکتروفورز، از نمونه های واکنش مزبور بر روی قطعه ۳۸۷ جفت بازی در ناحیه کد کننده ژن *GPX-1* تهیه شده است. اندازه باندها بر اساس جفت باز مشخص شده است. *M* (مارکر ۱۵۰۰ جفت بازی *RNA*)، *WT* (*Wild-type* سلول های طبیعی *PC12*)، *pLV-EGFP* (سلول *PC12* آلوده شده با ویروس حاوی ژن *GFP*)، *pLV-GPX1* (سلول *PC12* آلوده شده با ویروس حاوی ژن *GPX1*)



6-OHDA

شکل ۴: بقاء نورون های *PC12* در برابر مسمومیت پارکینسونی. این تصاویر میکروسکوپی بیست و چهار ساعت پس از تیمار سلول ها با توکسین *6-OHDA* تهیه شده است. فلش بزرگ سلول های تیمار شده با توکسین را نشان می دهد. ۱= سلول های طبیعی، ۲= سلول های طبیعی به همراه توکسین، ۳= نورون های حاوی ژن *GFP*، ۴= نورون های دارای ژن *GPX1*، ۵= نورون های تیمار شده با شیکونین، ۶= نورون های دارای ژن *GPX1* و تیمار شده با شیکونین. بزرگنمایی: ۱۰۰×



شکل ۵: میزان بقاء سلول ها. این نمودار درصد بقاء سلول های *PC12* را پس از افزایش بیان ژن *GPX-1* و تیمار با شیکونین نشان می دهد که از سنجش *MTT* بدست آمده است. سلول های که از نقطه آغازین فلش بزرگ به بعد قرار دارند سلول های تیمار شده با توکسین میباشند در حالیکه سلول های دو ستون اول توکسین دریافت نکرده اند. هر ستون نماینده ۳ آزمایش مستقل است که بصورت تریپلیکیته انجام شده است. اختلافات آماری داده ها بین گروه های مختلف و گروه طبیعی (*WT*) با علامت * ($P < 0.01$) یا ** ($P < 0.001$)، بین گروه *pLV-EGFP* و *pLV-GPX1* با علامت ## ($P < 0.01$)، بین گروه *pLV-GPX1* و *SHKN* با علامت * ($P < 0.01$)، بین گروه *pLV-GPX1* و *SHKN* با علامت ** ($P < 0.01$)، بین گروه *pLV-GPX1* و *SHKN* با علامت *** ($P < 0.001$)، بین گروه *WT* و *SHKN* با علامت ^^^ ($P < 0.001$) نشان داده می شود. *SHKN* شیکونین و *WT*، سلول های طبیعی (*Wild-type*)

اثبات کرده است (۱۱). گزارش‌هایی نیز از فعالیت ضد مرگ شیکونین در دست است (۲۱ و ۲۲). در عین حال گزارش روشنی از تأثیر ضد مرگ شیکونین اختصاصاً در نورون‌های دوپامین ساز در دست نیست. به این ترتیب مطالعه حاضر در صدد پاسخ به این دوسوال برآمد: ۱) آیا شیکونین نیز همانند GPX-1 می‌تواند مانع مرگ نورون‌های دوپامین‌ساز در برابر آسیب‌های اکسیداتیو شود؟ ۲) آیا حضور و فعالیت هم‌زمان دو عامل حفاظتی فوق در یک سلول دوپامین‌ساز می‌تواند شانس بقا آن را در برابر مسمومیت پارکینسونی افزایش دهد و این افزایش نسبت به افزایش ناشی از فعالیت هر یک از دو عامل بتنهایی تفاوت آماری محسوسی دارد؟ داده‌های این مطالعه نشان می‌دهد که نه تنها هر یک از دو عامل GPX-1 و شیکونین بر بقا سلول‌های دوپامین‌ساز بطور مثبت و معنی دار موثر است، بلکه فعالیت توأم آن‌ها درصد بقا را باز هم به‌طور معنی دار بالا برده و با تأثیرکشنده توکسین 6-OHDA بیش از پیش مقابله می‌کند. بر اساس نتایج بدست آمده، این فعالیت توأم به‌صورت هم‌افزایی بروز می‌کند به‌طوری‌که تأثیر آن بر بقا نسبت به تأثیر انفرادی هر یک از دو عامل حفاظتی تفاوت چشم‌گیر و از نظر آماری بسیار معنی دار بود.

مطالعات انجام شده روی GPX-1 وابستگی این آنزیم را به گلوکوتایون درون سلولی برای انجام وظیفه خود بخوبی نشان می‌دهد (۸). تیمار نورون‌های غیر دوپامینژتیکی با شیکونین نیز نشانگر تأثیر این ترکیب بر رادیکال‌های آزاد می‌باشد (۲۱). اما مکانیسم هم‌افزایی مشاهده شده در مطالعه جاری چیست و این دو عامل در کدام نقطه از شاهراه‌های بقا به یکدیگر می‌رسند و یا چه تأثیری برهم دارند؟ مطالعات پیش روی ما در صدد یافتن پاسخ به این سوالات می‌باشد.

مرگ نورون‌های دوپامین‌ساز مهمترین شاخصه بیماری پارکینسون در مقیاس سلولی است. سم 6-OHDA از جمله توکسین‌هایی است که در صد بالایی از علائم سلولی پارکینسون را در لوله آزمایش و نیز در مدل‌های حیوانی باز تولید می‌کند. به این دلیل مطالعات آزمایشگاهی که جوانب مختلف پارکینسون را هدف قرار می‌دهد بر اساس مدل 6-OHDA و دیگر مدل‌ها استوار است. چنین مطالعاتی در مقیاس سلولی قابل پیگیری در مدل‌های حیوانی 6-OHDA بوده و می‌تواند بر تعیین استراتژی‌های حفاظت نورونی تأثیر گذار باشد.

سنجش افزایش بقا نورون‌ها در حضور GPX-1 و شیکونین: داده‌های حاصل از سنجش MTT در شکل ۵ نشان داده شده است. درصد بقا سلول‌های گروه pLV-EGFP (WT) (54 ± 2) نسبت به درصد بقا سلول‌های طبیعی (52 ± 2) از نظر آماری معنی دار نبود. از سوی دیگر درصد بقا سلول‌های گروه pLV-GPX1 در برابر مسمومیت مقاومت نشان دادند که این رقم نسبت به درصد بقا سلول‌های کنترل (pLV-EGFP) ۱۴ درصد افزایش نشان داد و از نظر آماری معنی دار بود $(p < 0/01)$. افزایش درصد بقا سلول‌های گروه شیکونین به سلول‌های طبیعی (WT) میزان بقا این سلول‌ها را به $65 \pm 4\%$ رسانید که نسبت به سلول‌های طبیعی و کنترل افزایش بسیار معنی داری را نشان داد $(P < 0/01)$. نهایتاً آنکه افزایش شیکونین به سلول‌های گروه pLV-GPX1 میزان بقا این سلول‌ها را تا $83 \pm 4\%$ درصد افزایش داد که در مقایسه با درصد بقا همین گروه سلولی در غیاب شیکونین ۱۵ درصد افزایش نشان می‌دهد $(P < 0/01)$. همچنین سلول‌های مزبور در مقایسه با سلول‌های طبیعی که در معرض شیکونین بودند ۱۸ درصد افزایش بقا نشان می‌دهند $(P < 0/01)$.

بحث

در این مطالعه، ویروس‌های نوترکیب ناقل ژن GPX-1 با موفقیت تولید شده و برای ترانس‌دوکشن سلول‌های PC12 که مدلی مناسب برای نورون‌های دوپامین‌ساز بشمار می‌روند بکار گرفته شدند. همچنین از ماده شیکونین که نقش حمایتی از سلول‌های پستانداران ایفا می‌کند برای تیمار سلول‌های دوپامین‌ساز مزبور استفاده گردید. پس از ایجاد مسمومیت سلولی توسط توکسین 6-OHDA میزان بقا سلول‌ها به‌روش MTT اندازه‌گیری شد. نتایج حاصله نشان داد که هم گلوکوتایون پروکسیداز و هم شیکونین به‌عنوان عوامل حفاظت نورونی عمل می‌کنند. بر اساس نتایج این مطالعه هر یک از دو عامل مزبور به تنهایی می‌توانند میزان مقاومت سلول‌ها را در برابر مسمومیت پارکینسونی افزایش دهند. بعلاوه، فعالیت هم‌زمان آن‌دو بصورت هم‌افزایی عمل کرده و مقاومت را باز هم بطور معنی داری افزایش می‌دهد.

گلوکوتایون پروکسیداز یک آنزیم ضد اکسیدانت بوده و باعث مصرف و کاهش رادیکال‌های آزاد درون سلولی به‌خصوص پروکسید هیدروژن می‌شود (۸). مطالعه قبلی ما بر روی یک رده نورون دوپامین‌ساز فعالیت ضد اکسیدانی آنزیم فوق را به‌خوبی

9. Cheng W, Fu YX, Porres JM, Ross DA, et al. Selenium-dependent cellular glutathione peroxidase protects mice against a pro-oxidant-induced oxidation of NADPH, NADH, lipids, and protein. *FASEB J.* 1999; 13(11): 1467-1475.

10. Cheng WH, Ho YS, Valentine BA, Ross DA, et al. Cellular glutathione peroxidase is the mediator of body selenium to protect against paraquat lethality in transgenic mice. *J Nutr.* 1998; 128: 1070-76.

11. Gardaneh M, Gholami M, Maghsoudi N. Synergy between glutathione peroxidase-1 and astrocytic growth factors suppresses free radical generation and protects dopaminergic neurons against 6-hydroxydopamine. *Rejuvenation Res.* 2011; 14(2): 195-204.

12. Papageorgiou VP, Assimopoulou, AN, Couladouros, EA, Hepworth D, et al. The chemistry and biology of alkannin, shikonin, and related naphthazarin natural products. *Angew. Chem. Int. Ed.* 1999; 38: 270-300.

13. Yoshimi N, Wang A, Morishita Y, Tanaka T, et al. Modifying effects of fungal and herb metabolites on azoxymethane- induced intestinal carcinogenesis in rats. *Jpn. J. Cancer Res.* 1992; 83(12): 1273-1278.

14. Hisa T, Kimura Y, Takada K, Suzuki F, et al. Shikonin, an ingredient of *Lithospermum erythrorhizon*, inhibits angiogenesis in vivo and in vitro. *Anticancer Res.* 1998; 18: 783-790.

15. Tanaka S, Tajima M, Tsukada M, Tabata M. A comparative study on antiinflammatory activities of the enantiomers, shikonin and alkannin. *J. Nat. Prod.* 1986; 49: 466-469.

16. Kourounakis AP, Assimopoulou AP, Papageorgiou VP, Gavalas A, et al. Alkannin and shikonin: effect on free radical processes and on inflammation - a preliminary pharmacological investigation. *Arch. Pharm. (Weinheim).* 2002; 335, 262-266.

17. Gao D, Kakuma M, Oka S, Sugino K. et al. Reaction of beta-alkannin (shikonin) with reactive oxygen species: detection of beta-alkannin free radicals. *Bioorg Med Chem.* 2000; 8, 2561-2569.

18. Rahimi ShamAbadi A, Gardaneh M, Alipanah M, Gharib E. Transfectability and Transducibility of chicken liver cell line LMH compared to human cell line HEK-293T. *J Cell Tissue.* 2011; 1(2): 47-56][Persian].

19. Gharib E, Gardaneh M, Montasser Kouhsari Sh. Cooperative effects of glutathione peroxidase-1 and glial cell line-derived neurotrophic factor on dopaminergic neuron resistance against 6-OHDA and H₂O₂ toxicities, *J Neurosci Res.* 2012 (submitted).

نتیجه گیری

نهایتاً نتایج این مطالعه نشان داد که هم افزایش بیان آنزیم GPX-1 و هم تیمار سلول‌ها با شیکونین بصورت انفرادی و به‌خصوص بطور توأم بر کاهش آسیب‌های ناشی از رادیکال‌های آزاد بر سلول‌ها موثر است. آیا این تأثیر توأم نتیجه همکاری دو عامل بصورت هم افزایی یا سینرژیک است؟ مکانیسم چنین واکنش‌هایی چیست و چه شاه‌راه‌های درون سلولی را تحت تأثیر قرار می‌دهد؟ آیا می‌توان این تأثیر را در مدل‌های حیوانی بیماری نیز مشاهده و اثبات کرد؟ مطالعات آینده می‌تواند با دادن پاسخ به این سوالات در بهینه سازی مقامت نوروئی در برابر مسمومیت‌های پارکینسونی و تعیین استراتژی‌های حفاظت نوروئی موثر واقع شود.

تشکر و قدردانی

از همکاری تکنیکی خانم سحر شجاعی در تولید این مقاله سپاسگزار می‌شود.

منابع

1. Wolozin B, Behl C. Mechanisms of neurodegenerative disorders: Part 2: control of cell death. *Arch Neurol.* 2000; 57(6): 801-4.
2. Culmsee C, Landshamer S. Molecular insights into mechanisms of the cell death program: role in the progression of neurodegenerative disorders. *Curr Alzheimer Res.* 2006; 3(4): 269-83.
3. Poon HF, Butterfield DA. Free radicals and brain aging. *Clin Geriatr Med.* 2004; 20(2): 329-59.
4. Halliwell B. Oxidative stress and neurodegeneration : where are we now. *J Neurochem.* 2006; 97: 1634-1658.
5. Dringen R. Metabolism and functions of glutathione in brain. *Prog Neurobiol.* 2000; 62(6): 649-71.
6. Wullner U, Klockgether T. Glutathione depletion potentiates MPTP and MPPT toxicity in nigral dopaminergic neurons. *Neuroreport.* 1996; 7: 921-923.
7. Zeevalk GD, Nicklas WJ. Role of oxidative stress and the glutathione system in loss of dopamine neurons due to impairment of energy metabolism, *J Neurochem.* 1998; 70: 1421-1430.
8. Halliwell B, Gutteridge JM. Biologically relevant metal ion-dependent hydroxyl radical generation. An update. *Febs Lett.* 1992; 307(1): 108-112.

20. Moscow JA, Morrow CS, He R, Mullenbach GT, et al. Structure and function of the 5'-flanking sequence of the human cytosolic selenium-dependent glutathione peroxidase gene (hgpx1). *J Biol Chem.* 1992; 267(9): 5949.
21. Wang Z, Liu T, Gan L, Wang T, et al. Shikonin protects mouse brain against cerebral ischemia/reperfusion injury through its antioxidant activity, *Eur J Pharmacol.* 2010; 643(2-3): 211-7.
22. Nam KN, Son MS, Park JH, Lee EH. Shikonin attenuate microglial inflammatory responses by inhibition of ERK, Akt, and NF-kappaB: neuroprotective implications, *Neuropharmacol.* 2008; (5):819-25.

The Concomitant Effect of Shikonin and Glutathione Peroxidase-1 on Enhanced Survival of Dopaminergic Neurons against Parkinsonian Toxicity

Esmailzadeh E. M.Sc.^{1,2}, Gardaneh M. Ph.D.^{*1}, Vaziri HR. Ph.D.²

1. National Institute of Genetic Engineering and Biotechnology (NIGEB)
2. University of Guilan, Faculty of Science

* Email corresponding author: mossa65@nigeb.ac.ir

Received: 2 Jan. 2012

Accepted: 20 Feb. 2012

Abstract

Aim: the aim of this study was to examine the effect of glutathione peroxidase-1 (GPX-1) and shikonin on enhanced survival of dopaminergic neurons PC12 against parkinsonian toxicity.

Material and methods: in order to overexpress GPX-1 in PC12 neurons, recombinant lentiviruses carrying both GPX-1 and reporter GFP genes were generated and used to infect target cells. The survival rate of the transduced neurons in the presence or absence of shikonin was then quantified.

Results: following GFP gene expression observed under the fluorescent microscope, the overexpression of GPX-1 was determined using the RT-PCR analysis. Changes in cell survival against parkinsonian toxicity were examined in the presence of two factors: GPX-1 overexpression and shikonin treatment. The results indicated that both GPX-1 overexpression and shikonin treatment of the PC12 cells increased significantly cell survival against parkinsonian toxicity. Survival increased by 14% after GPX-1 overexpression and by 11% following shikonin treatment. More importantly, when the two factors were applied simultaneously (by shikonin treatment of GPX-1-overexpressing cells) they saved 83% of the neuronal cells that was up by 29%. This increase of survival rate was significant compared to the increase achieved by each factor alone.

Conclusion: our data showed that GPX-1 gene overexpression and shikonin treatment not only individually increase PC12 cell survival against oxidative stress caused by the parkinsonian toxin 6-OHDA, but also will function additively and/ or synergistically if they are applied together.

Keywords: Parkinson, Glutathione peroxidase, Shikonin, Dopaminergic neuron